

Penggunaan Komposit TiO_2 / SnO_2 sebagai Fotoanoda pada Dye Sensitized Solar Cell

M N Fajar¹, R Hidayat², Triwikantoro¹ and Endarko^{*1}

¹Departemen Fisika-FIA, Institut Teknologi Sepuluh Nopember, Kampus ITS Sukolilo, Surabaya 60111

²Divisi Penelitian Bidang Fisika Magnet dan Photonik, Fakultas Matematika dan Ilmu Pengetahuan Alam, Institut Teknologi Bandung, Jl. Ganesha 10, Jawa Barat, 40132

*Corresponding author: endarko@physics.its.ac.id

Intisari

Fotoanoda adalah salah satu komponen *dye-sensitized solar cell* (DSSC) yang disintesis dari bahan semikonduktor oksid logam dengan ukuran nanopartikel yang didepositkan ke kaca konduktif transparan. Bahan semikonduktor yang digunakan harus memenuhi beberapa kriteria seperti permukaan yang luas dan tingkat porositas yang tinggi sehingga dapat menyerap cahaya dengan baik. Salah satu modifikasi yang sering dilakukan pada DSSCs untuk meningkatkan kinerjanya adalah dengan mengaplikasikan TiO_2 / SnO_2 pada fotoanoda DSSC. Dalam penelitian ini, kinerja DSSC yang disintesis dengan komposit TiO_2 / SnO_2 dengan struktur lapisan tunggal dan ganda dibandingkan dengan kinerja DSSC yang disintesis dari fotoanoda dengan struktur lapisan tunggal TiO_2 atau SnO_2 . Hasil penelitian menunjukkan bahwa efisiensi DSSC dapat dicapai untuk kedua lapisan tunggal TiO_2 dan SnO_2 adalah pada 2,12 dan 2,06%.

Abstract

Photoanode is one component of dye-sensitive cell solar (DSSC) which synthesized from metal oxide semiconductor materials with nanoparticle size that deposited onto the transparent conductive glass. The semiconductor material used must meet several criteria such as a wide surface and a high level of porosity so that it can absorb dye properly. One modification that is often done on DSSCs was to improve its performance by applying TiO_2 / SnO_2 to DSSC photoanodes. In this study, the performance of the synthesized DSSC with TiO_2 / SnO_2 composites with both single and double layers structure will be compared to the performance of the synthesized DSSC from either photoanodes with a single layer structure of TiO_2 or SnO_2 . The results showed that the high-efficiency of the DSSC could be achieved for both TiO_2 and SnO_2 single layer with value at 2.12 and 2.06%, respectively.

Kata Kunci :Double layer, Single layer dan Komposit TiO_2 / SnO_2

I. PENDAHULUAN

Saat ini Dye Sensitized Solar Cell (DSSC) menjadi perhatian utama sebagai pengganti sel surya konvensional dikarenakan sifatnya yang ramah lingkungan, fabrikasi yang mudah dan murah [1-2]. Umumnya DSSC tersusun atas fotoanoda berbahan semikonduktor berpori, elektrolit, dan counter elektroda berbahan metal konduktif atau karbon[3]. Fotoanoda biasanya dibuat dengan mendeposisikan material semikonduktor pada permukaan transparent conducting oxide(TCO), sedangkan counter elektroda merupakan lapisan tipis konduktif berbahan metal atau carbon yang dideposisikan pada TCO yang lain[2].

Untuk mengembangkan potensi dari DSSC, telah banyak dilakukan penelitian pada komponen yang diantujuan mendapatkan performa maksimal dari DSSC. Dari tahun 1997 sampai dengan 2015 penelitian terbanyak untuk komponen DSSC adalah fotoanoda[4] dan masih terus diteliti hingga sekarang. Titanium dioxide (TiO_2) merupakan material yang paling sering digunakan sebagai fotoanoda pada DSSC terutama fasa anatase dikarenakan sifatnya yang stabil dan fotoaktifitas yang tinggi. Sebagai material penyusun tamam fotoanoda, karakteristik dari TiO_2 meliputi struktur dan

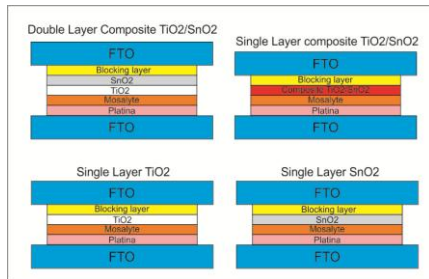
morfologi yang sangat berpengaruh pada performa DSSC[5]. Beberapa kriteria harus dipenuhi seperti memiliki struktur pori, permukaan yang luas sehingga

kapasitas penyerapan dye dapat meningkat. Beberapa strategi untuk memenuhi kriteria ini adalah dengan membuat komposit TiO_2 / SnO_2 pada lapisan fotoanoda.

Tin Oxide (SnO_2) cocok ketika dikompositkan dengan TiO_2 pada aplikasi fotokatalis dan baterai. SnO_2 mempunyai beberapa kelebihan dibandingkan TiO_2 diantaranya memiliki tingkat difusi elektron yang tinggi[6].

II. METODOLOGI

Pembuatan komposit *Single* dan *Double layer* TiO_2 / SnO_2 telah selesai pada penelitian sebelumnya[7] dengan struktur terdiri dari *blocking layer* TiO_2 , lapisan TiO_2 , lapisan SnO_2 , komposit *single layer* (SL) dan *double layer* TiO_2 / SnO_2 (DL) seperti terlihat pada Gambar 1.

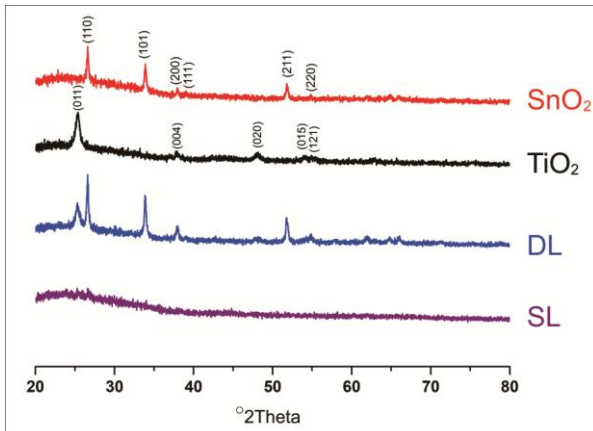


Gambar 1. Struktur DSSCs

III. HASIL DAN PEMBAHASAN

Analisa Fasa Material

Bahan semikonduktor untuk fotoanoda pada penelitian ini menggunakan pasta TiO_2 (Titanium Dioksida), dan pasta SnO_2 (Tin dioksida). Dengan analisis kualitatif menggunakan perangkat lunak *match!*, pada Gambar 2, didapatkan bahwa wafase pasta TiO_2 adalah anatase. Bidang kristal (101) yang terletak pada $^{\circ}2\text{Theta}$ disekitar 25.3° merupakan bidang kristal yang dominan dengan intensitas yang paling tinggi pada lapisan tipis TiO_2 [8]. Sedangkan pada bahan semikonduktor lainnya, didapatkan bahwa wafase SnO_2 adalah cassetterite dengan intensitas paling tinggi pada bidang (110), (101) dan (211). Pola difraksi siber berbentuk padatan amorf didapat dari interpolasi difraksi substrat kaca. Pola difraksi yang terbentuk dari fotoanoda DL dan SL merupakan gabungan dari puncak TiO_2 dan SnO_2 pada bidang kristal tertentu. Pola difraksi DL didominasi oleh bidang-bidang kristal dari fasa cassetterite SnO_2 sedangkan pola difraksi SL menunjukkan bidang kristal (101) yang bersaldu dari fasa anatase TiO_2 dan bidang kristal (110) dari fasa cassetterite SnO_2 . Li *et al.*[9] juga mendapatkan pola difraksi yang sama pada film komposit $\text{TiO}_2/\text{SnO}_2$. Selain itu penambahan SnO_2 pada komposit juga mampu mereduksi puncak (101) pada TiO_2 , hasil serupa juga didapatkan oleh Arunachalam *et al.*[10] pada penelitian ini yang terkait dengan penambahan SnO_2 untuk pembuatan lapisan tipis TiO_2 .



Gambar 2. Hasil pola X-Ray Diffraction (XRD)

Hasil Analisa Karakteristik Optik dan Band Gap Fotoanoda

Setelah dilakukan pengujian UV-Vis pada fotoanoda yang telah dibuat, didapatkan hasil berupa grafik absorbansi dan transmitansi yang menggambarkan bagaimana karakteristik optik dari fotoanoda

da. Terlihat bahwa absorbansida fotoanoda TiO_2 berada pada rentang panjang gelombang 300–600 nm sedangkan SnO_2 pada rentang panjang gelombang 300–870 nm (Gambar 3a). Fotoanoda DL mempunyai rentang panjang gelombang 300–870 nm dan nilai absorbansi tertinggi jika dibandingkan dengan fotoanoda TiO_2 dan SnO_2 . Hal ini dikarenakan pada fotoanoda DL tersusun atas dua lapisan penyusun yang berlainan, yakni lapisan TiO_2 yang mempunyai nilai absorbansi tinggi dan lapisan SnO_2 yang mempunyai rentang panjang gelombang 300–870 nm. Gambar 3a menunjukkan nilai absorbansi pada rentang panjang gelombang tertentu dari fotoanoda TiO_2 , SnO_2 , dan

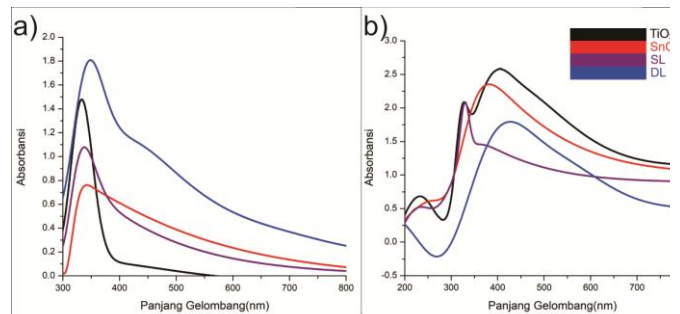
SL dimana nilai absorbansi fotoanoda SL lebih rendah dibandingkan dengan fotoanoda TiO_2 pada rentang panjang gelombang 300–600 nm namun lebih tinggi jika dibandingkan dengan fotoanoda SnO_2 pada rentang panjang gelombang 300–870. Hal ini dikarenakan pada fotoanoda SL tersusun atas tiga lapisan penyusun yang berlainan, yakni lapisan $\text{TiO}_2/\text{SnO}_2$ sehingga absorbansi yang lebih rendah dibandingkan dengan fotoanoda TiO_2 namun mempunyai rentang panjang gelombang yang sama dengan fotoanoda SnO_2 [11].

Hasil analisa absorbansi menggunakan pengujian UV-Vis bertujuan untuk menentukan energi gap dan posisi pita energi dari lapisan fotoanoda. Menurut Morrison[12], untuk menentukan posisi pita energi dari lapisan fotoanoda dapat digunakan formula

$$E_c = -\chi + 0.5E_g \quad (1)$$

$$E_v = E_c - E_g \quad (2)$$

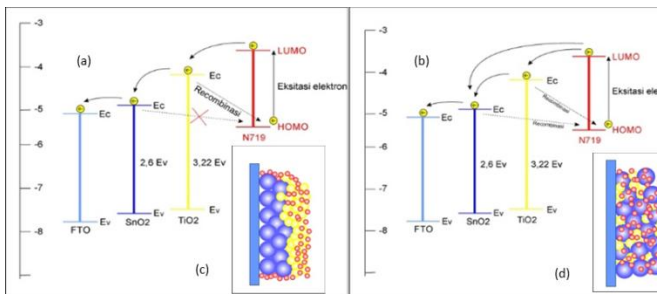
Dimana E_c adalah pita konduksi, χ adalah nilai elektronegatifitas, E_g adalah energi gap, dan E_v adalah pita valensi. Karena pada sampel digunakan komposit double dan single layer $\text{TiO}_2/\text{SnO}_2$ maka E_g TiO_2 dan SnO_2 terlebih dahulu diperlukan pada Tabel 1.



Gambar 3. Nilai absorbansi a) fotoanoda sebelum direndam pada dye N-719, b) fotoanoda setelah direndam pada dye N-719

Table 1. Nilai Energi gap dan posisi pita energi lapisan tipis fotoanoda

Sampel	E_v (eV)	E_c (eV)	E_g (eV)
TiO_2	-7.435	-4.185	3.25
SnO_2	-7.55	-4.95	2.6



Gambar 4. a) Skema Transfer Elektron pada fotoanoda DL, b) Skema Transfer Elektron pada fotoanoda SL, c) Struktur lapisan fotoanoda DL, d) Struktur lapisan fotoanoda \SL ; SnO_2 : bulatan biru, TiO_2 : bulatan kuning, Dye N719: bulatan merah.

Terlihat dari Gambar 4, terjadi 1 kali rekombinasi dari fotoanoda DL dan 2 kali rekombinasi pada fotoanoda SL. Rekombinasi ini terjadi dari pita konduksi metal oxide menuju level HUMO pada dye N179. Perbedaan proses rekombinasi ini disebabkan oleh struktur komposit yang berbeda (Gambar 4c dan d). Pada fotoanoda DL struktur kompositnya adalah *layer by layer* dimana terdapat 2 lapisan yaitu lapisan SnO_2 dan TiO_2 . SnO_2 memiliki densitas yang lebih besar dibandingkan dengan TiO_2 sehingga dye hanya menempel pada TiO_2 . Karena dye hanya menempel pada TiO_2 , maka SnO_2 hanya menerima injeksi elektron yang berasal dari TiO_2 . Sedangkan, fotoanoda SL struktur kompositnya adalah campuran antara TiO_2 dan SnO_2 . Sehingga dye dapat menempel pada permukaan TiO_2 maupun SnO_2 . Hal ini mengakibatkan terjadi 2 proses rekombinasi yaitu dari pita konduksi TiO_2 dan SnO_2 menuju level HOMO dye. Green *et al.*[13], Hung *et al.*[14], dan Vinayak *et al.*[15] menjelaskan bahwa proses rekombinasi ini berpengaruh terhadap kinerja DSSC dimana semakin banyak rekombinasi yang terjadi maka semakin rendah kinerja DSSC.

Setelah proses perendaman dye pada fotoanoda, dilakukan pengukuran UV-Vis lagi. Hal ini bertujuan untuk menganalisa penyerapan dye pada fotoanoda yang akan digunakan pada dye sensitized solar cell.

Gambar 3b memperlihatkan peningkatan nilai absorbansi pada fotoanoda setelah direndam dengan dye N719. Hal ini dikarenakan adanya proses penyerapan dye N719 oleh fotoanoda saat direndam. Nilai absorbansi ini terbentuk dari gabungan absorbansi fotoanoda dan dye N719. Dye N719 menyerap cahaya secara maksimal pada rentang panjang gelombang 200–500 nm dan 500–700 nm (gambar 21) hal ini menyebabkan terjadinya peningkatan nilai absorbansi fotoanoda pada rentang panjang gelombang 300–650 nm. Menurut Pazokiet *et al.*[16], mol atau jumlah dye N719 yang menempel pada fotoanoda dapat dihitung dengan menggunakan rumus sebagai berikut :

$$\Gamma = \frac{A_{\text{fotoanoda+dye}}}{1000 \cdot \varepsilon} \quad (3)$$

$$\varepsilon = \frac{A_{\text{dye}} \cdot M_r \text{ dye}}{100 \cdot \text{konsentrasi larutan dalam mg/ml}} \quad (4)$$

Γ adalah jumlah dye yang diserap oleh fotoanoda (mol/cm^2), A adalah absorbansi, M_r adalah massa relatif dan

ε adalah koefisien ekstinsi atau kekuatan suatu bahan untuk menyerap cahaya pada panjang gelombang tertentu ($\text{M}^{-1} \text{ cm}^{-1}$).

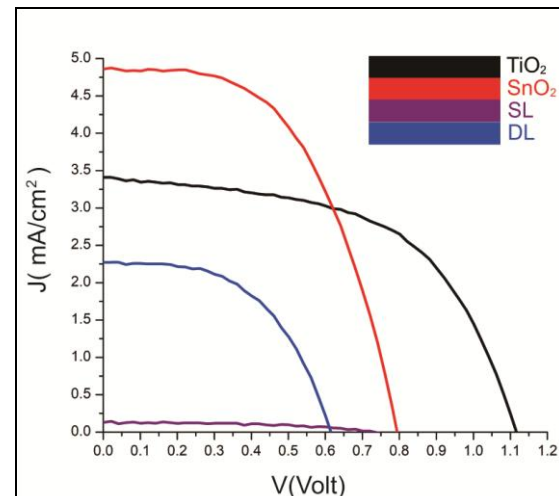
molar

Table 2. Dye yang terserap pada fotoanoda	
Sampel	$\Gamma(\text{mol}/\text{cm}^2)$
TiO_2	4.25×10^{-3}
SnO_2	3.82×10^{-3}
DL	2.17×10^{-3}
SL	2.99×10^{-3}

Setelah dilakukan perhitungan, hasil dirangkum pada Tabel 2 dimana nilai penyerapan dye paling besar adalah pada fotoanoda TiO_2 dan SnO_2 .

Hasil Analisa Arus dan Tegangan DSSC Menggunakan I-V Keithley Meter

Arus dan tegangan DSSC diukur dengan alat I-V Keithley Meter menggunakan lampu halogen pada luas area fotoanoda sebesar 0.25 cm^2 . Gambar 7 memperlihatkan kurva karakteristik I-V dari DSSC dengan simulasi cahaya yang memiliki intensitas besar 100 mW cm^{-2} .



Gambar 5 Kurva Karakteristik I-V DSSC

Tabel 3. Parameter I-V DSSC

Sampel	$V_{oc}(\text{V})$	$J_{sc}(\text{mA}/\text{cm}^2)$	Fill Factor	Efisiensi(%)
TiO_2	1.12	3.40	0.55	2.12
SnO_2	0.78	4.86	0.54	2.06
DL	0.60	2.27	0.54	0.74
SL	0.74	0.13	0.41	0.04

Dari Tabel 3 terlihat nilai V_{oc} pada sampel TiO_2 lebih tinggi jika dibandingkan dengan sampel SnO_2 , DL, dan SL namun memiliki nilai J_{sc} yang lebih rendah jika dibandingkan dengan sampel SnO_2 . Nilai V_{oc} dan J_{sc} yang didapatkan mempengaruhi nilai effisiensi dari DSSC, sehingga dapat terlihat nilai effisiensi dari TiO_2 dan SnO_2 berada pada kisaran 2%.

Struktur lapisan tipis komposit $\text{TiO}_2/\text{SnO}_2$ sangat mempengaruhi performa DSSC. Terlihat pada lapisan tipis fotoanoda DL dan SL terjadi penurunan nilai V_{oc} dan J_{sc} sehingga menghasilkan efisiensi sebesar 0.74% dan 0.04%. Nilai V_{oc} dan J_{sc} dipengaruhi oleh beberapa faktor yaitu sifat bahan, morfologi permukaan, karakteristik optik, dan daya serap dye pada fotoanoda.

Pada fotoanoda DL dan SL, penggabungan 2 fasa anatase dan cassiteritemenyebabkanpenurunankristalinitasfasa anatase yang ditandaidenganmenurunnyaintensitaspuncakdifraksi. Penurunankristalinitas pada fase anatase inimenyebabkanpenurunanperformadafotoanodadalammény erapcahaya[15]. Banyaknya dye yang terserap pada fotoanoda juga menjadifaktorpentingdalamerperforma DSSC. Dari hasilperhitunganpenyerapan dye pada fotoanoda, dye yang menempel pada fotoanoda DL dan SLlebihsedikitjikadibandingkandenganfotoanoda TiO_2 dan SnO_2 . Oleh sebabituterjadipenurunannilaieffisiensi pada fotoanoda DL dan SL[16].

I. KESIMPULAN

Berdasarkanhasilanalisisintesis karakterisasifotoanodacomposit TiO_2/SnO_2 diperolehbahwaterjadipenurunaneffisiensi setelah TiO_2 dikompositkandengan SnO_2 baik pada struktur *double-layer* dan *single layer*. Penurunaperformainidiakibatkan turunnyanilaiintensitasfasa anatase pada komposit TiO_2/SnO_2 yang dipengaruhi oleh penambahanfasacassiteritedari SnO_2 . Effisiensi pada DSSC yang menggunakanstrukturfotoanodasingle layer TiO_2 maupun SnO_2 lebihtinggidibandingkankomposit*double-layer* (DL) dansingle layer (SL). Hal inidikarenakan dye yang menempel pada metal oksidalebihbanyak, dan peluangterjadinyarekombinasi yang minim.Didapatkannilaieffisiensiterbesaryaitu 2,12% pada DSSC dengansingle layer TiO_2

DAFTAR PUSTAKA

- [1] M. Wu, X. Lin, T. Wang, J. Qiu, and T. Ma, “Low-cost dye-sensitized solar cell based on nine kinds of carbon counter electrodes,” *Energy Environ. Sci.*, vol. 4, no. 6, pp. 2308–2315, 2011.
- [2] S. Suhami, M. M. Shahimin, Z. A. Alahmed, J. Chysky, and A. H. Reshak, “Materials for enhanced dye-sensitized solar cell performance: Electrochemical application,” *Int J Electrochem Sci.*, vol. 10, no. 4, pp. 2859–2871, 2015.
- [3] M. Ye *et al.*, “Recent advances in dye-sensitized solar cells: from photoanodes, sensitizers and electrolytes to counter electrodes,” *Mater. Today*, vol. 18, no. 3, pp. 155–162, 2015.
- [4] J. Gong, K. Sumathy, Q. Qiao, and Z. Zhou, “Review on dye-sensitized solar cells (DSSCs): advanced techniques and research trends,” *Renew. Sustain. Energy Rev.*, vol. 68, pp. 234–246, 2017.
- [5] S. R. Adawiyah and Endarko, “Structural and morphological characterization of TiO_2-SnO_2 thin film prepared by combining doctor-blade and sol-gel techniques,” in *IOP Conference Series: Materials Science and Engineering*, 2017, vol. 188, p. 012062.
- [6] C. S. K. Ranasinghe *et al.*, “Tin oxide based dye-sensitized solid-state solar cells: surface passivation for suppression of recombination,” *Mater. Sci. Semicond. Process.*, vol. 40, pp. 890–895, 2015.
- [7] M. N. Fajar *et al.*, “Experimental Study of Acid Treatment Toward Characterization of Structural, Optical, and Morphological Properties of TiO_2-SnO_2 Composite Thin Film,” in *Journal of Physics: Conference Series*, 2018, vol. 1011, p. 012006.
- [8] S. Mahshid, M. Askari, M. S. Ghamsari, N. Afshar, and S. Lahuti, “Mixed-phase TiO_2 nanoparticles preparation using sol-gel method,” *J. Alloys Compd.*, vol. 478, no. 1, pp. 586–589, 2009.
- [9] H. Li, C. Xie, Y. Liao, Y. Liu, Z. Zou, and J. Wu, “Characterization of Incidental Photon-to-electron Conversion Efficiency (IPCE) of porous TiO_2/SnO_2 composite film,” *J. Alloys Compd.*, vol. 569, pp. 88–94, 2013.
- [10] A. Arunachalam, S. Dhanapandian, and C. Manoharan, “Effect of Sn doping on the structural, optical and electrical properties of TiO_2 films prepared by spray pyrolysis,” *J. Mater. Sci. Mater. Electron.*, vol. 27, no. 1, pp. 659–676, 2016.
- [11] M. Batmunkh, M. Dadkhah, C. J. Shearer, M. J. Biggs, and J. G. Shapter, “Tin Oxide Light-Scattering Layer for Titania Photoanodes in Dye-Sensitized Solar Cells,” *Energy Technol.*, vol. 4, no. 8, pp. 959–966, 2016.
- [12] S. R. Morrison, *The chemical physics of surfaces*. Springer Science & Business Media, 2013.
- [13] A. N. Green, E. Palomares, S. A. Haque, J. M. Kroon, and J. R. Durrant, “Charge transport versus recombination in dye-sensitized solar cells employing nanocrystalline TiO_2 and SnO_2 films,” *J. Phys. Chem. B*, vol. 109, no. 25, pp. 12525–12533, 2005.
- [14] I. Hung, R. Bhattacharjee, and others, “Effect of Photoanode Design on the Photoelectrochemical Performance of Dye-Sensitized Solar Cells Based on SnO_2 Nanocomposite,” *Energies*, vol. 9, no. 8, p. 641, 2016.
- [15] M. V. Vinayak, T. M. Lakshmykanth, M. Yoosuf, S. Soman, and K. R. Gopidas, “Effect of recombination and binding properties on the performance of dye sensitized solar cells based on propeller shaped triphenylamine dyes with multiple binding groups,” *Sol. Energy*, vol. 124, pp. 227–241, 2016.
- [16] M. Pazoki, P. W. Lohse, N. Taghavinia, A. Hagfeldt, and G. Boschloo, “The effect of dye coverage on the performance of dye-sensitized solar cells with a cobalt-based electrolyte,” *Phys. Chem. Chem. Phys.*, vol. 16, no. 18, pp. 8503–8508, 2014.